УДК 538.915, 544.723.5

Оригинальная статья

Адсорбция бария на поверхности GaN(0001)

М.Н. Лапушкин

ФГБУН «Физико-технический институт им. А.Ф. Иоффе РАН» 194021, Россия, Санкт-Петербург, Политехническая ул., 26 lapushkin@ms.ioffe.ru

DOI: 10.26456/pcascnn/2024.16.210

Аннотация: Впервые проведен расчет адсорбции атомов бария на поверхности грани (0001) GaN методом функционала плотности. 2D-слой GaN моделировался суперьячейкой GaN(0001) 2×2 содержащих 10 бислоя GaN. Расчет электронной плотности состояния и энергии адсорбции атома Ba проводился для пяти мест адсорбции атома Ba: в ямочной позиции, в мостиковых позициях между поверхностными атомами Ga (N) и над поверхностным атомом Ga (N). Один атом Ba приходился на 4 поверхностных атомов Ga в первом бислое GaN. Наиболее предпочтительно адсорбция атома бария над поверхностным атомом N. Энергия адсорбции составляет величину: 2,96 эВ. Адсорбция атомов Ba приводит к незначительной реконструкции поверхности GaN: максимальный сдвиг слоя атомов Ga (N) не превышает 0,11 Å. Адсорбция Ba приводит к образованию поверхностной зоны ниже уровня Φ ерми.

Ключевые слова: метод функционала плотности, электронная структура, интерфейс, поверхность, адсорбция, барий, GaN.

1. Введение

Кристалл GaNявляется широкозонным полупроводником обладающий хорошей теплопроводностью [1], высокой светоотдачей [2], высокой термостойкостью [3], что обеспечило широкое применение GaN в электронике: мощных полупроводниковых элементов [4,5] и синих светодиодов [6,7]. Переход от кристаллов к двумерным (2D) материалам приводит к тому, что спектр энергетических уровней и плотность состояний (DOS – density of states) этих материалов значительно изменяется. Это обеспечивает 2D материалам уникальные физические и свойства. Детальный обзор экспериментальных химические теоретических исследований, а также физических и химических свойств поверхности *GaN* приведен в большом обзоре [8].

Существуют большое количество расчетов как кристаллов, так и 2D-слоев GaN, ссылки на эти работы приведены в обзоре [8].

Исследованиям адсорбции атомов щелочноземельных металлов на поверхности уделялось мало внимания, хотя были получены интересные результаты. В работе [9] проведен расчет адсорбции атомов бериллия на поверхности 2D-слоя GaN(0001) и показано, что выгодно замещение поверхностного атома Ga атомом Be. Исследованиям адсорбции атомов магния на поверхности уделено больше всего внимания так как Mg является популярной примесью p—типа в GaN[10,11]. Так, например, в [12] исследована адсорбция и внедрение атомов Mg в 2D-слой GaN(0001).

При покрытии 0,25 монослоя Mg предпочтительна адсорбция в позиции T4 над поверхностным атомом N .

Синтез графеноподобного g-GaN [13] стимулировал и расчеты адсорбции различных атомов на данной поверхности. Так в работе [14] была исследована адсорбция атомов щелочноземельных атомов и в том числе Ba на поверхности g-GaN. Показано, что предпочтительна адсорбция Ba либо над поверхностным атомом Ga либо в мостиковой позиции между атомами Ga и N. Энергия адсорбции E_{ads} равна 4,11 эВ. Адсорбированный атом Ba расположен на высоте 3,21 Å над g-GaN. Адсорбция Ba приводит к образованию узкой зоны около уровня Ферми E_{F} .

Экспериментально адсорбция бария на поверхности n-GaN(0001)была исследована, например, в [15,16]. В [15] исследована пленка GaN(0001) n-типа толщиной 4 мкм на поверхности сапфира методом фотоэмиссионной спектроскопии. Найдены фотоэмиссионного тока связанные с интерференционными эффектами в пленке GaN(0001). Результаты фотоэмиссионных экспериментов были интерпретированы как формирование аккумуляционного 2D-слоя. В [16] исследована пленка GaN(0001) n-типа толщиной 4,2 мкм на поверхности сапфира методом при синхронном облучении при энергии квантов от 50 до 400 эВ. Для чистой поверхности GaN(0001) выше максимума валентной зоны было найдена широкая зона поверхностных состояний. Адсорбция атомов бария привела к формированию новой узкой зоны шириной ~1,5 эВ уровня Ферми, которую интерпретировали ниже зону как аккумуляционного 2D-слоя.

В работе [17] синтезировано тройное соединение $Ba_3Ga_3N_5$, которое является широкозонным полупроводником.

Целью данной работы было рассчитать электронную структуру адсорбированного Ba на поверхности 2D-слоя GaN(0001) и энергию связи атомов Ва, что позволит определить предпочтительные места адсорбции атомов Ba на поверхности GaN(0001). Результаты работы позволят лучше интерпретировать результаты более ранних работ ПО **ТКНОП** адсорбции исследованиям атомов щелочноземельных металлов поверхности GaN(0001).

2. Методический раздел

Расчеты из первых принципов выполняются в рамках теории функционала плотности DFT, реализованной в пакете QUANTUM ESPRESSO [18] с использованием обменно-корреляционного функционала описанного в аппроксимации локальной плотности (LDA – local density

арргохітаtion) в форме Perdew-Zinger (PZ) интерполяции [19]. Суперъячейка (0001) $2\times2\times2$ была изготовлена с использованием графической программы с открытым исходным кодом BURAI-1.3 [20]. Вакуумный зазор между 2D-слоями был 18 Å, чтобы избежать влияния паразитных электрических полей. Ограничение кинетической энергии и ограничение плотности заряда были выбраны 40 Ry и 350 Ry. Использована гамма-центрированная сетка по k-точкам $4\times4\times1$ для всех 2D систем в этой статье. Сходимость составила $1\cdot10^{-6}$ Ry.

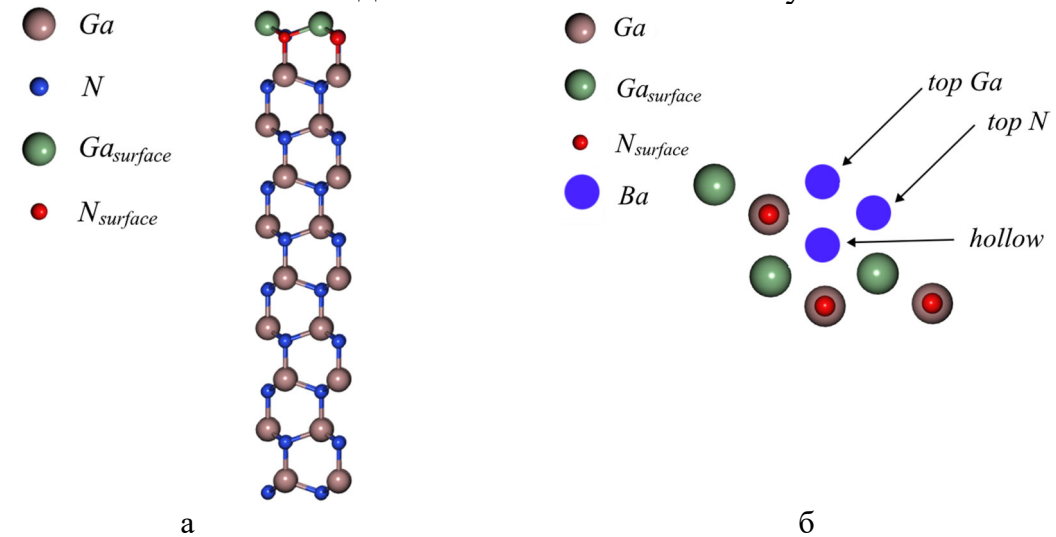


Рис. 1. 2D-слой W (а). Положение адатомов Ge на 2D-слое W: вид сверху (б). Синий шар — атом W, тёмно-синий шар — поверхностный атом W, красный шар — атом Ge.

GaN имеет структуру вюрцита с следующими параметрами решетки: a=b=3,21629 Å и c=5,23996 Å. Один атом Ba приходится на 4 поверхностных атомов Ga. Суперъячейка состоит из 10 бислоев GaN. Релаксации подвергались только верхний бислой GaN. Положение остальных бислоев GaN было зафиксировано, что было сделано для моделирования объема GaN. Связи атомов азота нижнего бислоя GaN были насыщены псевдоатомами водорода. Стадия релаксации параметров ячейки суперъячейки длится до достижения давления менее 0,5 кбар.

3. Результаты и обсуждение

Для чистой поверхности релаксированного 2D-слоя GaN(0001) была рассчитана релаксация поверхности относительно нерелаксированного 2D-слоя GaN(0001). Величину релаксации можно определить по следующей формуле:

$$\Delta_{ij} = (d_{ij} - d_{0ij}) / d_{0ij}, \tag{1}$$

где Δ_{ij} — относительное изменение расстояния между i-тым и j-тым слоями атомов Ga для релаксированной и нерелаксированной поверхности. d_{0ij} — расстояние между между i-тым и j-тым слоем атомов

Ga для нерелаксированной поверхности и d_{ij} — расстояние между между i тым и j -тым слоем атомов Ga для релаксированной поверхности. Знак «—» означает уменьшение расстояния. Получено следующее значение: $\Delta_{12} = -0.010$.

Была рассчитана энергия адсорбции (E_{ads}) атомов Ba на поверхности GaN в пяти позициях: ямочной (hollow), над поверхностным атомом Ga (top Ga), над поверхностным атомом N (top N), мостиковой между атомами Ga (bridge Ga) и мостиковой между атомами N (bridge N) по следующей формуле:

$$E_{ads} = -(E_{Ba/GaN} - E_{GaN} - E_{Ba}), (2)$$

где $E_{\it Ba/GaN}$ и $E_{\it GaN}$ — полные энергии поверхности с адсорбированным $\it Ba$ и без него, $\it E_{\it Ba}$ — полная энергия атома $\it Ba$. Значения энергии адсорбции атомов $\it Ba$ и расстояния между плоскостью, образованной центрами поверхностных атомов $\it Ga$, и положением адсорбированного атома $\it Ba$ приведены в Таблице 1. Наиболее предпочтительной является адсорбция $\it Ba$ над поверхностным атомом $\it N$. Адсорбция атомов $\it Ba$ в мостиковых позициях bridge $\it Ga$ и bridge $\it N$ приводит к смещению атомов $\it Ba$ соответственно в положение top $\it N$ и hollow.

Таблица 1. Энергия адсорбции атома бария и расстояние между уровнем поверхностных атомов Ga и плоскостью адсорбированных атомов.

Положение	E_{ads} , ${ m 9B}$	h, Å
hollow	2,95	2,60
top Ga	2,42	3,11
top N	2,96	2,60

Разницы между энергиями в положении hollow и top N незначительная, в обоих случаях образуется связь с тремя атомами галлия. Наиболее удаленный атом галлия от атома азота сдвигается на 0,45 Å вниз.

Наблюдается незначительная реконструкция поверхности GaN, вызванная адсорбцией атомов Ba, вызванная взаимодействием валентных электронов адсорбционной системы. Поверхностные атомы GaN, выделенные зеленым и красным цветом на рис. 1 б, сдвигаются вверх и получено следующее значение для релаксации поверхности: $\Delta_{12} = 0.041$.

Результаты расчета плотности состояний (DOS) чистой поверхности 2D-слоя GaN и с адсорбированным барием представлены на рис. 2. На рис. 2 а-в представлена плотность состояний 2D-слоя GaN в поверхностном бислое GaN и приповерхностном бислое и десятом бислое, самом удаленным от поверхностного бислоя GaN. Валентная зона GaN сформирована N2p состояниями и Ga4s и Ga4p состояниями с преобладающим вкладом N2p состояний.

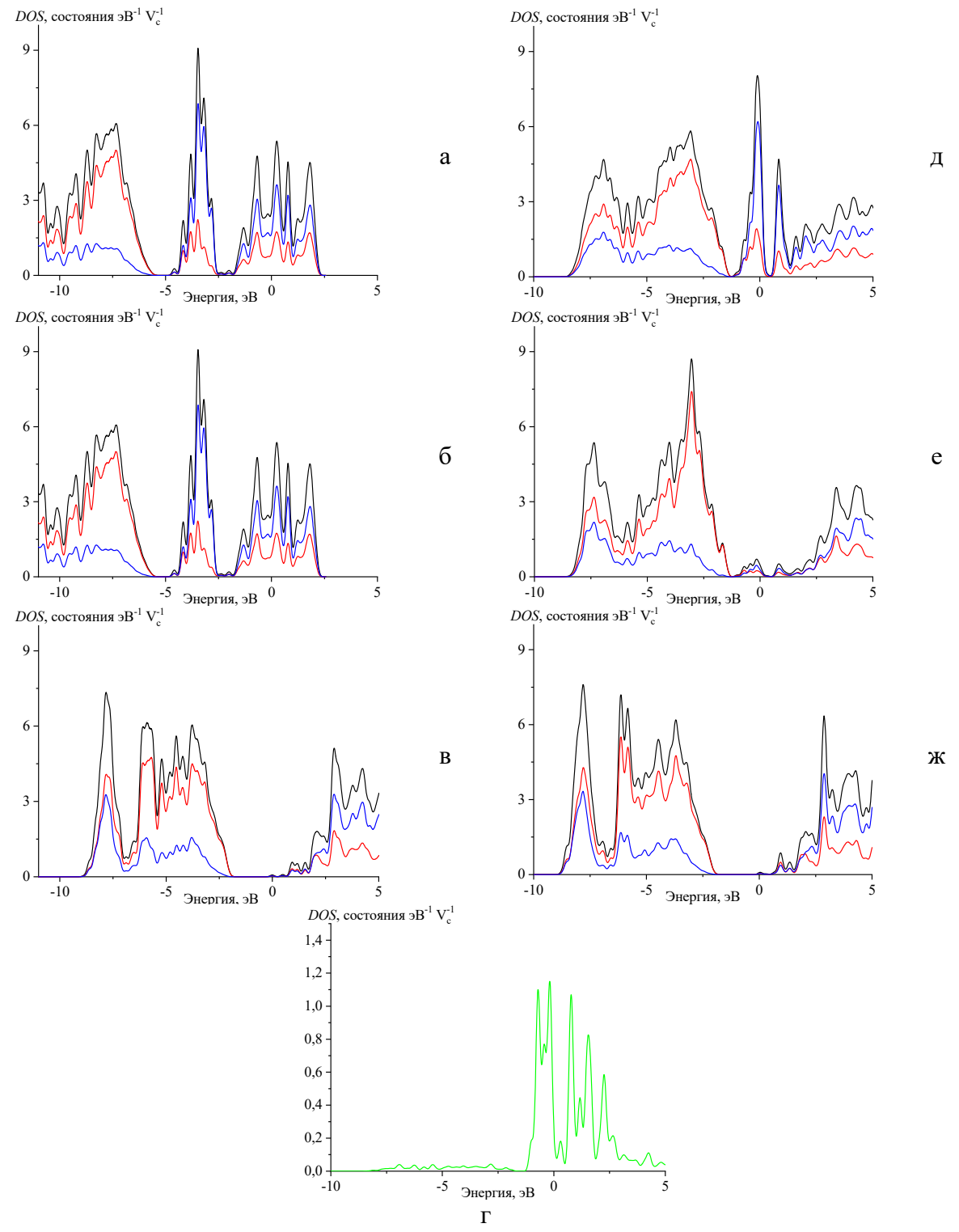


Рис. 2. Рассчитанная полная и парциальная плотность состояний 2D-слоя GaN (а-в) и с адсорбированным слоем Ba (г-ж). Полная плотность состояний, поверхностного бислоя GaN (а, д), приповерхностного бислоя GaN (б, е), десятого считая от поверхности бислоя GaN (ж) и адсорбированного слоя Ba (г). V_c — объем элементарной ячейки. Полная плотность состояний в бислое GaN — черным цветом и в слое бария — зеленым цветом. Плотность состояний азота — красным цветом и галлия — синим цветом.

Для поверхностного бислоя (см. рис. 2 а) характерна зона, обладающая три выделяющихся пика, с максимумом и 3,5, 7,4 и 11,8 эВ. Вклад в первый пик вносит в основном N2p состояния с примесью Ga4p состояний. Вклад во второй пик вносит в основном N2p состояния с примесью Ga4s состояний. На уровне Ферми наблюдается широкий пик поверхностных состояний, который сформирован состояниями Ga в основном Ga4p. Небольшой пик N2p состояний слоя атомов N также расположен на уровне Ферми, отметим, что атомы N расположены на 0,75 ниже атомов Ga. Для первого подповерхностного бислоя (см. рис. 2 б) структура валентной зоны намного изменяется и исчезает пик при 3,5 эВ. Также основной вклад вносят состояния азота. Пик поверхностных состояний уменьшается в 30 раз. Для десятого (пятого) слоя вид валентной зоны совпадает с валентной зоной кристалла GaN. Ширина запрещенной зоны $\sim 2,3$ эВ.

Результаты расчета чистой поверхности хорошо совпадают с теоретическими расчетами [8] и экспериментальными данными [8].

Адсорбция бария приводит к следующим изменениям в спектре валентной зоны и зоны поверхностных состояний. На уровне Ферми и ниже наблюдается пик поверхностных состояний Ba6s. Для первого (поверхностного) бислоя GaN валентная зона становится более приближенной к валентной зоне объема. Для второго (подповерхностного) бислоя GaN изменения незначительны. Для десятого бислоя GaN изменения еще менее заметны.

Полученные результаты находятся в некотром противоречии с интерпретацией экспериментальных данных по адсорбции 0.25 монослоя Ba на поверхности n-GaN (0001) в работе [15]. При используемых энергиях возбуждения 50-150 эВ в [15] глубина зондирования составляет порядка ~ 12 Å, что соответствует 5 бислоям GaN. Однако основной вклад вносит поверхностный слой Ba и два ближайших к нему бислоя GaN. В работе [15] после адсорбции 0.25 монослоя Ba на E_F наблюдался пик, который был связан с аккуляционным слоем и не наблюдался пик поверхностных состояний GaN на E_F . Однако из расчета следует, что это пик связан с состояними Ba и поверхностными состояниями GaN. В эксперименте не наблюдалось для чистой поверхности поверхностного состояния на E_F , а наблюдался пик поверхностных состояний рядом максимумом валентной зоны, что можно связать с особенностями обработки поверхности перед измерениями.

Наиболее вероятно рассхождение в интерпретации данных [15] и расчета связано может быть с некорректным определением потока атомов бария.

4. Заключение

Впервые проведен расчет адсорбции Ba на поверхности 2D-слоя GaN(0001) методом функционала плотности. Валентная зона 2D-слоя GaN(0001) сформирована N2p состояниями и Ga4s и Ga4p состояниями с преобладающим вкладом N2p состояний. Ширина запрещенной зоны равны 2,30 эВ. На уровне Ферми расположено поверхностное состояние, образованное электронами галлия. Показано, что адсорбция атома Ba предпочтительна над поверхностным атомом N и энергия адсорбции атомов Ba равна 2,96 эВ. Энергия адсорбции атомов Ba в ямочной позиции чуть меньше и равна 2,95 эВ. Наблюдается незначительная реконструкция поверхности GaN(0001) при адсорбции атомов Ba. Адсорбция Ba приводит к образованию поверхностного состояния на уровне Ферми с шириной на полувысоте 1,0 эВ.

Библиографический список:

- 1. **Qian, X.** Phonon-engineered extreme thermal conductivity materials / X. Qian, J. Zhou, G.Chen // Nature Materials. -2021.-V. 20. -I. 9. -P. 1188-1202. DOI: 10.1038/s41563-021-00918-3.
- 2. **Buffolo, M.** Defects and reliability of GaN-based LEDs: review and perspectives / M. Buffolo, A. Caria, F. Piva et al. // Physica Status Solidi (a). − 2022. − V. 219. − I. 8. − Art № 2100727. − 22 p. DOI: 10.1002/pssa.202100727.
- 3. **Emon, A.I.** A review of high-speed GaN power modules: state of the art, challenges, and solutions / A.I. Emon, A.B. Mirza, J. Kaplun et al. // IEEE Journal of Emerging and Selected Topics in Power Electronics. 2022. V. 11. I. 3. P. 2707-2729. DOI: 10.1109/JESTPE.2022.3232265.
- 4. **Sun, R.** GaN power integration for high frequency and high efficiency power applications: a review / R. Sun, J. Lai, W. Chen, B. Zhang // IEEE Access. 2020. V. 8. P. 15529-15542. DOI: 10.1109/ACCESS.2020.2967027.
- 5. **Kozak, J.P.** Stability, reliability, and robustness of GaN power devices: a review / J.P. Kozak, R. Zhang, M. Porter et al. // IEEE Transactions on Power Electronics. 2023. V. 38. I. 7. P. 8442-8471. DOI: 10.1109/TPEL.2023.3266365.
- 6. **Zhang, Y.** Recent advances on gan-based micro-leds / Y. Zhang, R. Xu, Q. Kang et al. // Micromachines. 2023. V. 14. I. 5. Art. № 991. 19 p. DOI: 10.3390/mi14050991.
- 7. **Behringer, M.** Blue high-power laser diodes--beam sources for novel applications: overview and outlook / M. Behringer, H. König // Photonics Views. 2020. V. 17. I. 2. P. 60-63. DOI: 10.1002/phvs.202000018.
- 8. **Bermudez, V.M.** The fundamental surface science of wurtzite gallium nitride / V.M. Bermudez // Surface Science Reports. 2017. V. 72. I. 4. P. 147-315. DOI: 10.1016/j.surfrep.2017.05.001.
- 9. **Northrup**, **J.E.** Incorporation of beryllium on the clean and indium-terminated GaN (0001) surface / J.E. Northrup // Applied Physics Letters. 2001. V. 78. I. 19. P. 2855-2857. DOI: 10.1063/1.1368369.
- 10. **Lyons, J.L.** First-principles theory of acceptors in nitride semiconductors / J.L. Lyons, A. Alkauskas, A. Janotti, C.G. Van de Walle // Physica Status Solidi (b). 2015. V. 252. I. 5. P. 900-908. DOI: 10.1016/j.cossms.2024.101148.
- 11. **Reshchikov**, **M.A.** Photoluminescence from vacancy-containing defects in GaN / M.A. Reshchikov // Physica Status Solidi (a). 2023. V. 220. I. 10. Art. № 2200402. –8 p. DOI: 10.1002/pssa.202200402.
- 12. **Sun, Q.** Energetics of Mg incorporation at GaN (0001) and Ga N (000 $\overline{1}$) surfaces / Q. Sun, A. Selloni, T.H. Myers et al. // Physical Review B. -2006. V. 73. I. 15. Art. No 155337. 9 p. DOI: 10.1103/PhysRevB.73.155337.
- 13. **Al Balushi, Z.Y.** Two-dimensional gallium nitride realized via graphene encapsulation / Z.Y. Al Balushi, K. Wang, R. K. Ghosh et al. // Nature Materials. 2016. V. 15. I. 11. P. 1166-1171. DOI: 10.1038/nmat4742.
- 14. Cui, Z. Tuning the optoelectronic properties of graphene-like GaN via adsorption for enhanced optoelectronic applications / Z. Cui, X.Wang, M. Li et al. // Solid State Communications. -2019.-V.296.-P.26-31.DOI: 10.1016/j.ssc.2019.04.010.

Физико-химические аспекты изучения кластеров, наноструктур и наноматериалов. — 2024. — Вып. 16

- 15. **Бенеманская, Г.В.** Модификация электронной структуры и формирование аккумуляционного слоя ультратонких интерфейсов Ba/n-GaN и Ba/n-AlGaN / Γ . В. Бенеманская, С. Н. Тимошнев, С. В. Иванов и др. // Журнал экспериментальной и теоретической физики. 2014. Т. 145. Вып. 4. С. 684-696.
- 16. **Бенеманская, Г.В.** Аккумуляционный зарядовый слой на поверхности n-GaN (0001) с ультратонкими Ва покрытиями / Г. В. Бенеманская, Г. Э. Франк-Каменецкая // Письма в Журнал экспериментальной и теоретической физики. -2005.-T.81.-Вып. 10.-С. 642-645
- 17. **Hintze, F.** Ba₃Ga₃N₅: a novel host lattice for Eu²⁺-doped luminescent materials with unexpected nitridogallate substructure / F. Hintze, F. Hummel, P. J. Schmidt et al. // Chemistry of Materials. 2012. V. 24. I. 2. P. 402-407. DOI: 10.1021/cm203323u.
- 18. **Giannozzi, P.** QUANTUM ESPRESSO: a modular and open-source software project for quantum simulations of materials / P. Giannozzi, S. Baroni, N. Bonini // Journal of Physics: Condensed Matter. 2009. V. 21. №. 39. Art. № 395502. 19 p. DOI: 10.1088/0953-8984/21/39/395502.
- 19. **Perdew, J.P.** Self-interaction correction to density-functional approximations for many-electron systems / J.P. Perdew, A. Zunger // Physical Review B. 1981. V. 23. I. 10. P. 5048-5079. DOI: 10.1103/PhysRevB.23.5048.
- 20. **Nishihara**, **S.** BURAI 1.3 A GUI of Quantum ESPRESSO / S. Nishihara. Режим доступа: www.url: https://nisihara.wixsite.com/burai. 16.07.2024.

References:

- 1. Qian X., Zhou J., Chen G. Phonon-engineered extreme thermal conductivity materials, *Nature Materials*, 2021, vol. 20, issue 9, pp. 1188-1202. DOI: 10.1038/s41563-021-00918-3.
- 2. Buffolo M., Caria A., Piva F. et al. Defects and reliability of GaN-based LEDs: review and perspectives, *Physica Status Solidi (a)*, 2022, vol. 219, issue 8, art. no. 2100727, 25 p. DOI: 10.1002/pssa.202100727.
- 3. Emon A.I., Mirza, A. B., Kaplun, J. et al. A review of high-speed GaN power modules: state of the art, challenges, and solutions, *IEEE Journal of Emerging and Selected Topics in Power Electronics*, 2022, vol. 11, issue 3, pp. 2707-2729. DOI: 10.1109/JESTPE.2022.3232265.
- 4. Sun R., Lai J., Chen W., Zhang B. GaN power integration for high frequency and high efficiency power applications: a review, *IEEE Access*, 2020, vol. 8, pp. 15529-15542. DOI: 10.1109/ACCESS.2020.2967027.
- 5. Kozak J.P., Zhang R., Porter M. et al. Stability, reliability, and robustness of GaN power devices: a review, *IEEE Transactions on Power Electronics*, 2023, vol. 38, issue 7, pp. 8442-8471. DOI: 10.1109/TPEL.2023.3266365.
- 6. Zhang Y., Xu R., Kang Q. et al. Recent advances on gan-based micro-leds, *Micromachines*, 2023, vol. 14, issue 5, art. no. 991, 19 p. DOI: 10.3390/mi14050991.
- 7. Behringer M., König H. Blue high-power laser diodes--beam sources for novel applications: overview and outlook, *PhotonicsViews*, 2020, vol. 17, issue 2, pp. 60-63. DOI: 10.1002/phvs.202000018.
- 8. Bermudez V.M. The fundamental surface science of wurtzite gallium nitride, *Surface Science Reports*, 2017, vol. 72, issue 4, pp. 147-315. DOI: 10.1016/j.surfrep.2017.05.001.
- 9. Northrup J.E. Incorporation of beryllium on the clean and indium-terminated GaN (0001) surface, *Applied Physics Letters*, 2001, vol. 78, issue 19, pp. 2855-2857. DOI: 10.1063/1.1368369.
- 10. Lyons J.L., Alkauskas A., Janotti A., Van de Walle C.G. First-principles theory of acceptors in nitride semiconductors, *Physica Status Solidi (b)*, 2015, vol. 252, issue 5, pp. 900-908. DOI: 10.1016/j.cossms.2024.101148.
- 11. Reshchikov M.A. Photoluminescence from vacancy-containing defects in GaN, *Physica Status Solidi (a)*, 2023, vol. 220, issue 10, art. no. 2200402, 8 p. DOI: 10.1002/pssa.202200402.
- 12. Sun Q., Selloni A., Myers T.H., Doolittle W.A. Energetics of Mg incorporation at GaN (0001) and GaN (000 $\overline{1}$) surfaces, *Physical Review B*, 2006, vol. 73, issue 15, art. no. 155337, 9 p. DOI: 10.1103/PhysRevB.73.155337.
- 13. Al Balushi Z.Y, Wang K., Ghosh R.K. et al. Two-dimensional gallium nitride realized via grapheme encapsulation, *Nature Materials*, 2016, vol. 15, issue 11, pp. 1166-1171. DOI: 10.1038/nmat4742.
- 14. Cui Z., Wang X., Li M. et al. Tuning the optoelectronic properties of graphene-like GaN via adsorption for enhanced optoelectronic applications, *Solid State Communications*, 2019, vol. 296, pp. 26-31. DOI: 10.1016/j.ssc.2019.04.010.
- 15. Benemanskaya G.V., Timoshnev S.N., Ivanov S.V et al. Modification of the electronic structure and formation of an accumulation layer in ultrathin Ba/n-GnN and Ba/n-AlGaN interfaces, *Journal of Experimental and Theoretical Physics*, 2014. vol. 118, issue 4, pp. 600-610. DOI: 10.1134/S1063776114040098.
- 16. Benemanskaya G. V., Frank-Kamenetskaya G.É., Journal *of Experimental and Theoretical Physics Letters*, 2005, vol. 81, issue 10, pp. 519–522 DOI: 10.1134/1.1996761.

Физико-химические аспекты изучения кластеров, наноструктур и наноматериалов. — 2024. — Вып. 16

- 17. Hintze F., Hummel F., Schmidt P.J. et al. Ba₃Ga₃N₅: a novel host lattice for Eu²⁺-doped luminescent materials with unexpected nitridogallate substructure, *Chemistry of Materials*, 2012, vol. 24, issue 2, pp. 402-407. DOI: 10.1021/cm203323u.
- 18. Giannozz, P., Baroni S., Bonini N. QUANTUM ESPRESSO: a modular and open-source software project for quantum simulations of materials, *Journal of Physics: Condensed Matter*, 2009, vol. 21, no. 39, art. no. 395502, 19 p. DOI: 10.1088/0953-8984/21/39/395502.
- 19. Perdew J.P., Zunger A. Self-interaction correction to density-functional approximations for many-electron systems, *Physical Review B*, 1981, vol. 23, issue 10, pp. 5048-5079. DOI: 10.1103/PhysRevB.23.5048.
- 20. Nishihara S. BURAI 1.3 A GUI of Quantum ESPRESSO. Available at: https://nisihara.wixsite.com/burai (accessed 16.07.2024).

Original paper

Adsorption of barium on surface of GaN(0001)

M.N. Lapushkin

Ioffe Institute, St. Petersburg, Russia

DOI: 10.26456/pcascnn/2024.16.210

Abstract: For the first time, the adsorption of barium atoms on the surface of the (0001) face of GaN was calculated using the density functional method. The 2D GaN layer was modeled using a GaN(0001) 2×2 supercell containing 10 GaN bilayers. The electron density of state and the adsorption energy of the Ba atom were calculated for five adsorption sites of the Ba atom: in the hollow position, in the bridge position between the surface Ga (N) atoms, and above the surface Ga (N) atom. There was one Ba atom per 4 surface Ga atoms in the first GaN bilayer. The adsorption of the barium atom above the surface N atom was most preferable. The adsorption energy was 2.96 eV. The adsorption of Ba atoms resulted in an insignificant reconstruction of the GaN surface: the maximum shift of the Ga (N) atoms did not exceed 0.11 Å. The adsorption of Ba resulted in the formation of a surface band below the Fermi level.

Keywords: density functional method, electronic structure, interface, surface, adsorption, barium, GaN.

Лапушкин Михаил Николаевич — к.ф.-м.н., доцент по специальности, старший научный сотрудник ФГБУН «Физико-технический институт им. А.Ф. Иоффе РАН»

Mikhail N. Lapushkin – Ph. D., Docent, Senior Researcher, Ioffe Institute

Поступила в редакцию/received: 27.08.2024; после рецензирования/revised: 03.10.2024; принята/ассерted 05.10.2024.